

# 吳山庙砂桩基础石拱桥

浙江省交通厅 编

人民交通出版社

### 内 容 提 要

石拱桥一般都是选择在较硬的地基上修筑的。浙江省试用砂桩处理软土地基修筑了一座石拱桥，效果良好，为擴大石拱桥的使用范围创造了经验。

书中介绍了砂桩和垫层的布置与施工，沉降观测资料及不均匀沉降对拱圈的影响，地基土质试验资料，以及修筑这种桥的经济比较。

## 吳山庙砂桩基础石拱桥

浙江省交通厅 编

\*

人民交通出版社出版

(北京安定门外和平里)

北京市書刊出版業營業許可證出字第〇〇六号

新华书店科技发行所发行 全国新华书店經售

人民交通出版社印刷厂 印刷

\*

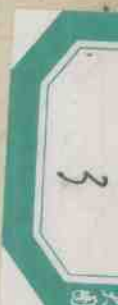
1980年7月北京第一版 1980年7月北京第一次印刷

开本：787×1092mm 印张：半张

全书：12000 字 印数：1—2500册

统一書号：15044·1423

定价（元）：0.05元



## 前　　言

吳山廟橋是一座修建在砂粧基礎上的石拱橋，為本省寧波區公路運輸局修建。該橋為一孔，淨跨6.00米，位於寧波至曹娥公路上，橋位有殘存老橋粧基礎，經拔除後重打砂粧，新建了石拱橋。

用砂粧處理軟土地基修建石拱橋，在我省是第一次，由於石拱橋對地基承載力的要求比一般簡支梁式橋高，且對不均勻沉陷有嚴格的控制，因此對軟土地基用砂粧來處理，如何能達到質量要求，保證拱圈的整體性不產生裂縫是首要問題。通過這座橋的修建，觀察工程效果，觀察沉降，進行分析研究，探討其可能性，將為擴大石拱橋的使用範圍創造條件。現橋已建成通車，情況良好，作出初步總結，為進一步提高砂粧基礎質量、修建較大孔徑的石拱橋打下基礎。

## 一、桥基土質試驗資料

在桥台基底标高（地面上 1.2 米）取原状土壤进行了試驗，其結果詳見附表 1。

土質是砂質粘土，天然含水量达飽和状态。稠度指數  $B$  (1.1) 大于 1，成流动状态，承載能力很小，孔隙比  $e$  (1.1) 大于 1，可压缩性很大，根据剪力（快剪）試驗結果的数据，參照 HNTy 127-55 規范計算地基上的平均允許压力，在基底标高处：

$$P^{1/3} = (A_1 b^1 + B h) r + D \cdot C^H = (0.675 \times 3.12 + 3.0 \times 1.2) \\ \times 0.9 + 5.5 \times 0.3 = 6.9 \text{ 吨/平方米} = 0.7 \text{ 公斤/平方厘米}$$

同样計算在基底下 2.0 米深处

$$P_{1/3} = 1.2 \text{ 公斤/平方厘米}$$

在基底下 2.0 米深处做实地荷載試驗达到破坏应力

$$P_K = 15 \text{ 公斤/平方厘米}$$

取安全系数 2，则其允許压应力为 0.75 公斤/平方厘米。在这次試驗中，荷載板用  $70.7 \times 70.7$  厘米，加荷物用石块，未能保持加载平衡，产生偏心破坏作用，所得結果是不够确切的，小承板的結果对实际建筑物是偏于安全的。

从打砂桩鋼套管及钎探中，基底 2.5 米以下，有一厚度从 0 到 2 米的較硬土层（見圖 1），厚度不一，再下去則見軟粘土。

## 二、砂桩和垫层的布置和施工

上部结构传至桥台基底的压力，在静载情况下，最大压应力为1.87公斤/平方厘米，当静载加活载的情况下，最大压应力达2.23公斤/平方厘米，计算基底下应力的分布在基底下2.5米深处，基底中心点的位置0点， $\sigma_0 = 1.55$  公斤/平方厘米，而该处土壤的允许承压力计算为1.36公斤/平方厘米，不能达到设计要求，须进行加固，另一方面建筑物的沉降是一个控制因素，计算基底2.5米以下的最终下沉值为2.22厘米，其数值很大，因此下卧层的加固更为必要，从以上计算的数据及基底土质的情况以及考虑到设备条件等，采用2.5米厚砂垫层、3.5米长的砂桩（原来设计2.0米砂垫、4.0米砂桩由于硬层存在而改变）。掌握土层的厚度约等于基底宽度的2倍，由于在此范围内压缩量很大，对砂桩的作用，按排水砂井来考虑间距1.00米（ID），对砂桩的桩径、长度和间距缺乏理论的计算和分析，是参考铁路地基试验的资料而选用的。

### 砂桩施工

每个桥台打砂桩53根，两台共打106根。由于是初次应用，在打桩过程中是边摸索边改进，在开始时试用了通气木桩施工，由于土壤回淤很快，不成功而放弃了，即采用钢套管灌注法，钢套管长6.0米、直径2.0厘米，用6毫米厚的钢板制成，用人力拉链施工，所配备的机具设备如下表：

### 劳动组织：

- ①打桩阶段：拉老鹰钩1人，摇绞车8人，零星工作1

序目	机具设备名称	规 格	单 位	数 量	备 注
1	钢套管	$L=6.0\text{米}$	根	1	内径25厘米壁厚6毫米
2	龙门架	$H=8.0\text{米}$	架	1	
3	滑 车	双门式	只	2	负荷3噸
4	钢丝绳	$\phi=19\text{毫米}$	米	100	
5	自落锤	重 500 米	斤	1	
6	手摇绞车	负荷 15噸	架	1	
7	量 计		只	1	水制，量砂用
8	石桩尖	直徑30厘米、高32厘米	只	108	打后埋于土中
9	石 夯		斤	1	

人，指揮 1 人，共 11 人。

②灌砂阶段：搖絞車 6 人，灌砂 4 人，指揮 1 人，共 11 人。

由于初次采用套管灌打砂桩，工人操作不熟練，加上土基中有厚1.5至2.0米的硬隔层，以及采用較笨重的龙门架，故工效很低，平均每台班只打砂桩 3 个。

施工情况：定好桩位，用人力自落锤打下鋼套至設計标高，鋼套管下为石头桩尖。将套管上拔20厘米左右，用右锤下击桩尖，桩尖即脱离套管埋于土中，繼将套管上拔50厘米，即行灌砂，砂的天然含水量12%左右，一次灌砂量也在50厘米左右，灌好用石夯夯打，这样逐段的拔、灌、夯打，直至完成一根砂桩。用这种办法，常遇到砂子阻塞鋼套管，要重行捣穿，增加工作困难；另一办法先灌50厘米砂，再上拔套管50厘米，同时进行夯打，同样遇到砂子阻塞鋼管；还有一种办法是将接灌夯同时进行，这在掌握上很感困难，也不易灌好，因此砂桩的質量很不好，灌砂率一般仅55%，距設計要求90%以上，相差很大。这些都是姚台情况。其后打宁台的砂桩时，工人提出用灌水的办法，即将砂桩打至設計标高，先灌下約 2.0

米水，再上拔鋼套管，这样桩尖无須锤击即行脱落，一边灌砂一边上拔套管，孔眼不致回淤，灌砂亦无阻塞套管現象，最后水即流到地面上，导至出水沟，砂也不夯，这样灌砂率一般全达到90%以上，最高达98%。对灌水是否侵入土壤作了測定計算。灌入的水除填充砂的空隙外，最后全流至地面，对土壤不至增加其含水量，而降低其質量。这个問題还有待进一步研究。灌入的砂要飽和，才便于灌注，这点在开始时我們未能掌握，因之产生工作上的困难。

### 三、沉降觀測資料及不均勻沉降 對拱圈的影響

这次沉降觀測是从基础大方脚澆制起就开始，用水平仪及鋼尺觀測。每个桥台上設立四个觀測点，每台沉降以四点加权平均之數值。沉降觀測的目的，一方面了解砂桩地基的作用，另一方面了解基础不均匀沉降对拱圈的影响。理論計算的最終下沉值为22.2厘米（除去基底下2.5米砂垫层的沉降），实际沉降至通车止为8.9~9.7厘米，沉降并趋于稳定。根据以往經驗，理論計算沉降量大大超过实际沉降，这就說明砂桩对土壤起了加速排水固結的作用。至于不均匀沉降对拱圈的影响，采用鋼尺量孔徑觀測其水平位移，水平仪觀測其豎向位移。这次基础的沉降，在合拱后比較均匀，故除了在砌拱过程中两拱脚端的背面沿断面的有发絲状裂縫外，并无其它裂縫发现，下面是該桥到通车止的沉降觀測資料。

关于拱桥基础不均匀沉降，在理論上拱圈內将产生較大的次应力。为了防止拱圈一次砌上基础不均匀沉降对拱圈产生裂

台名	平均竖向沉降(厘米)				59年11月19日落拱 梁前之净跨(M)	
	合拱前	封拱	59年11月20日	合计	南端	北端
姚台	4.93	0.17	3.75	8.9	6.023	6.025
宁台	5.60	0.40	3.70	9.7		

縫，因此这次在离拱脚90厘米处（第四至五块拱石）留一預留縫，但其效果不够明显，当时称砌过 $\frac{l}{4}$ 时，拱脚端的背面沿拱宽产生发絲状的裂縫，合拱后裂縫有所扩展至拱厚的 $\frac{1}{3}$ 。为了吸取这次經驗教訓，今从理論上来分析預留縫留在拱脚最为有利。

假定右拱脚具有竖向位移 $a_1$ 、水平位移 $a_2$ 及轉角 $a_3$ （如图1）。

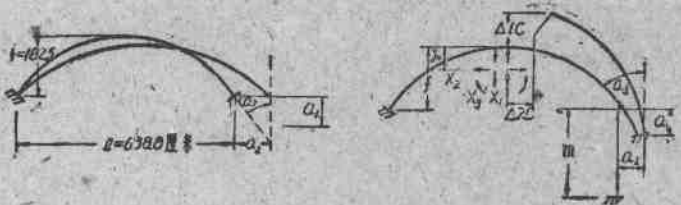


图 1

由几何关系知：

$$\Delta_1 C = -a_1 + \frac{l}{2} a_3 = -a_1 + \frac{l}{2} \cdot \frac{a_2}{m}$$

$$\Delta_2 C = a_2 + (f - \gamma o) a_3 = a_2 + (f - \gamma o) \frac{a_2}{m}$$

$$\Delta_3 C = -a_3 = -\frac{a_2}{m}$$

式中:  $m$ —基底至拱脚間的距离。

弹性中心力法方程：外力和未知力对中心的变位代数和等于零，

$$\delta_{gg} X_3 + \Delta_3 C = 0 \quad \dots \dots \dots \quad (3)$$

則：

由位移定理，略去剪力的影响，

$$EJ_o S_{11} = \int_S M_1^2 dS + \int_S N_1^2 \frac{J_o}{F} dS$$

$$= 2 \int_O^l X^2 dX + 2 \frac{J_0}{F}, r \int_O^{ln_1} \sin^2 \phi d\phi =$$

$$= -\frac{l^3}{12} + \frac{h^2}{b}, \quad p \left\{ \frac{\phi_n}{2} - \frac{1}{4} \sin 2\phi_n \right\}$$

$$\text{以 } i=638.8^\circ, h=45^\circ, p=370.7^\circ, \phi_n=1.03778$$

$E=60000 \quad J_o=759375$  代入上式  
得  $\delta_{11}=0.000477$

$$EJ_o\delta_{22} = \int M_{\frac{2}{3}}^2 ds + \int N_{\frac{2}{3}}^2 \frac{J_o}{h} ds$$

$$= \int_{-\phi_1}^{\phi_1} r \left[ r \cos \phi - \left( r - r_0 \right) \right]^2 d\phi + 2r \int_{\phi_1}^{\phi_n} \left[ \left( r - r_0 \right) - r \cos \phi \right]^2 d\phi + \frac{h^2}{12} r \int_{-\phi_n}^{\phi_n} \cos^2 \phi d\phi$$

以  $\phi_1=0.188\pi \quad \phi_n=0.331\pi \quad r_0=630 \quad r=370.7$   
 $h=45 \quad E=60000 \quad J_o=759375$  代入上式  
得  $\delta_{22}=0.00597$

$$EJ_o\delta_{33} = \int_{\frac{s}{5}} M_{\frac{3}{5}}^2 ds' = \int_s ds' = 769.42$$

$$\therefore \delta_{33}=0.000000017$$

由右拱脚的位移拱圈内任一断面内力图（见图2）

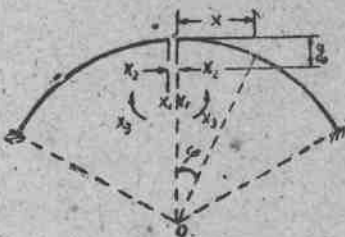


图 2

内力

$$M\phi = X_2 \left[ r_0 - r \left( 1 - \cos \phi \right) \right] + X_1 r \alpha^2 \phi - X_3$$

$$N\phi = -X_2 \cos\phi - X_1 \sin\phi$$

应力

$$\text{令 } \frac{d\sigma\varphi}{d\varphi} = 0 \quad \text{得 } X_1 \cos\phi + 2\alpha^1\phi = 0$$

今有三种情况：

1. 当右拱脚只有竖向移位，无水平移位时（即 $a_1 \neq 0$ ,  $a_2 = a_3 = 0$ ），则  $X_2 = X_3 = 0$ 。拱断面中应力的大小，决定于  $X_1$ ，因  $X_1$  离拱脚的距离最远，故拱脚处应力最大。

$$\max B\phi_n = \pm \frac{M}{W} = \frac{X_1 - \frac{l}{2}}{W} = \frac{4017606a_1}{202500}$$

$\pm 19.8a_1$  公斤/平方厘米

2. 当右拱脚只有水平位移, 无竖向位移时(即  $a_1 = 0$ ,  $a_2 \neq 0$ ,  $a_3 = 0$ ), 则(8)式=0, 表示最大应力产生在拱顶。

$$\max E_o = \frac{-N_o}{F} = \frac{-X_2}{F} = \frac{-167.5\alpha_2}{45 \times 100}$$

$$= -0.0371 \alpha_2 \text{ 公斤/平方厘米}$$

3. 当右拱脚只有水平位移沿绕基底转一角度时

(即  $a_1 = 0 \quad a_2 \neq 0 \quad a_3 \neq 0$ )

$$M\phi = -X_1 r \sin \phi + X_2 \left[ \gamma_o - r \left( 1 - \cos \phi \right) \right] - X_3$$

$$N\phi = +X_1 \sin \phi - X_2 \cos \phi$$

$$\sigma\phi = \frac{N\phi}{F} \pm \frac{M\phi}{W} = \frac{1}{F} \left( X_1 \sin \phi - X_2 \cos \phi \right) \pm$$

$$\pm \frac{1}{W} \left[ -X_1 r \sin \phi + X_2 \gamma_o - X_2 r + X_2 r \cos \phi - X_3 \right]$$

令  $\frac{d\sigma\phi}{d\phi} = 0$  得  $\left( \frac{1}{F} \mp \frac{r}{W} \right) \left( X_1 \cos \phi + \right.$

$$\left. + X_2 \sin \phi \right) = 0$$

解得  $\frac{1}{\gamma} \phi = \frac{X_1}{X_2}$   $\phi = 83^\circ 32' > \phi_n = 59^\circ 29'$  表示在拱

圈之外。

但由于函数  $\sigma\phi$  在  $[O_1\phi_n]$  内是单调增函数，故最大应力在拱脚处，将  $\phi_n$  代入  $\sigma\phi$ ，解得其应力值

$$\sigma_{\phi n} = \frac{-24.4a_2}{+24.6a_2} \text{ 公斤/平方厘米}$$

为清楚起见，将前面的分析结合该桥计算立表如下：

右拱脚的位移，产生最大附加应力的断面；

編 號	位移情況	因基礎的位移在拱圈中產生最大附加應力之斷面							
		拱頂		左拱腳		右拱腳			
		上緣	下緣	上緣	下緣	上緣	下緣		
①	$a_1 = a_3 = 0 \quad 0.2 \neq 0$	—	—	—	—	+	+	—	—
②	$a_1 \neq 0 \quad 0.2 = a_3 = 0$	—	—	—	+	+	—	—	—
③	$a_1 = 0 \quad a_2 \neq 0 \quad a_3 \neq 0$	—	—	—	—	—	+	—	+

注：“+”表示壓力，“—”表示拉應力。

在恒載下右拱腳的位移，該擠拱圈斷面最大應力值：

編 號	位移情況	恒載與基礎位移的組合應力(公斤/平方厘米)									
		拱頂		左拱腳		右拱腳					
		上緣	下緣	上緣	下緣	上緣	下緣				
①	$a_1 = a_3 = 0 \quad a_2 \neq 0$	+1.8	- $0.037a_2$	+1.6	- $0.037a_2$	—	—	—	—		
②	$a_1 \neq 0 \quad a_2 = a_3 = 0$	—	—	+2.39	- $19.8a_1$	+1.33	+	+2.39	+	+1.33	- $19.8a_1$
③	$a_1 = 0 \quad a_2 \neq 0 \quad a_3 \neq 0$	—	—	—	—	+2.39	- $24.0a_2$	+1.33	+	+2.39	- $24.0a_2$

注：①表格中數據：前項表示恒載應力，後項表示位移附加應力。

② $a_1$ 、 $a_2$ 以厘米計。

③假定右端拱腳向下沉降 $a_1$ 及向右水平位移 $a_2$ 。

現在來研究拱橋的一般位移；設計一般拱橋外力的合力多半偏在基底中心後面，基底上除作用有水平力外，還有偏心力矩，使基礎發生轉動，因此對一般土壤（對基底面有摩阻力），第一種情況成為不可能。再從基底是偏心應力以及兩合土質不可能絕對相同，很難得到絕對均勻下沉，證明第二、三種情況也為不可能。

最常見的就是第二第三兩情況的組合。而吳山廟橋在拱圈合攏到拆拱架兩台接近絕對均勻下沉，但淨空增加0.8厘米（參沉降觀測資料表），兩拱腳上緣發絲狀裂縫有所擴展。今以每台水平位移0.4厘米計，拱腳端上緣拉應力為7.21公斤/平方厘米超過灰漿的極限拉應力。從這一實例中說明軟地基拱橋拱圈砌築時預留縫留在拱腳，較為合理。

#### 四、經濟效果

為了體現該橋的經濟性，將該橋的砂樁砂墊地基與木桩基礎作一比較（見下表）。

項目	砂 樋 砂 墊 地 基					木 桩 基				
	單位	數量	單價(元)	合價(元)		單位	數量	單價(元)	合價(元)	
①	②	③	④	⑤	⑥	⑦	⑧	⑨	⑩	
土	人工	工日	908.0	1.20	1089.60	工日	509.7	1.20	611.64	
方	材料	立方米	3400			立方米	1950			
夯填砂	人工	工日	818.63	1.20	982.36	工日	518.4	1.20	622.08	
垫層及 打樁	材料	立方米	443.2	4.55	2018.56					
		立方米	0			立方米	45.0	122.30	5503.50	
合 計 (元)					4088.52					8737.22

從上表可知，採用了砂樁砂墊相結合的橋基的處理，節約了2648.70元，更重要的是節約了原木料45立方米。

## 五、結語

从吳山庙桥的試点工程效果，可以作如下的初步結語：

1. 在軟土地基上（无冲刷的河流）可以修建中 小型 石拱桥，采用砂桩和砂垫相結合的办法来处理軟土地基是一有效的办法，加速土壤固結，增加其密实度，提高承载力，减少沉降量。还須繼續加以試驗研究，提高砂桩基桩質量。
2. 設計桥台采用短形基础，使合力（静荷重）接近基底中心较为适合，压力均布沉降均匀，拱圈預留縫，应在拱脚起拱处。
3. 对砂桩的作用要考慮排水及挤紧的双重作用，同时要考慮打桩机具的条件，砂桩不宜过长而間距要密，短細密在推广上更有其現實可行性，对砂垫层的作用不仅是作排水通道层，而且要利用其扩散基底的应力，其厚度不宜太薄，但又要减少挖土工程的困难，宜采用1.5至2.0米为宜。
4. 砂子在灌注前要使其飽和，才不至在灌注过程中阻塞套管，同时要借用振动的作用来增加其密实度，灌水法施工能防止土壤回淤，可以研究其有无为害性后再行使用。
5. 在施工上要控制其不均匀沉降的产生，在拱圈合拱前施工可快些，使其起到預压加速固結作用，在封拱以后应将进度适当放慢些，使土壤能逐漸穩定。
6. 人工打桩工效低，以后应用柴油打桩机打桩和人字架拔桩和灌砂，提高桩砂的速度。

浙江省基中建設材料試驗所土壤試驗報告

天然地基土壤試驗

附表1

送样单编号: 59-1837 送验单位: 交通厅科研所

收到日期: 59.11.25 检查日期: 59.11.27

土样编号			1
试验室编号			319-1
取土深度(米)			1.2
自然含水量	W	%	41.5
容量	rn	公斤/立方厘米	1.82
干燥状态	rd	公斤/立方厘米	1.28
土粒比重	GS	-	2.71
孔隙度	n	%	52.6
孔隙比	e	-	1.107
饱和度	SW	%	100
阿太保稠度	WL	%	37.4
塑性限度	WP	%	24.0
塑性指数	IP	-	13.4
稠度	B	-	1.81
颗粒组成	砾	20~2	%
	砂	2~0.05	%
	泥砂	0.05~0.005	%
	粘土	<0.005	%
	不均匀系数	0.60/0.10	-
灼热损失			%
快剪	凝聚力	C	公斤/立方厘米
剪切	内摩擦角	φ	度
土壤分类			砂质粘土
固结快剪	凝聚力	C	公斤/立方厘米
	内摩擦角	φ	度

# 浙江省交通厅工程队試驗室土壤試驗報告

## 人工地基土壤試驗

附表 2

送样单编号:

送样单位: 交通厅科研所

來 源:

报告日期:

土样編號 試驗室編號 取土深度(米)			
自然含水量	W	%	29.00
容重	rn	公斤/立方厘米	1.94
干燥状态	rd	公斤/立方厘米	1.5
土粒比重	GS	-	2.70
孔隙度	n	%	.
孔隙比	e	-	0.79
饱和度	SW	%	98.1
阿达堡稠度	WL	%	35.8
流性限度	WP	%	23.3
塑性限度	IP	-	12.5
塑性指数	B	-	
强度	C	公斤/立方厘米	0.38
凝聚力	φ	度	35°22'
内摩擦角			
土 壤 分 类			砂質粘土